

京都大学工学部 正員 小西一郎
 京都大学工学部 正員 白石成人
 徳島大学工学部 正員 ○宇都宮英彦

1. まえがき

つり橋等の長大構造物の耐風安定性を、可能な限り自然の状態に近い形で論じようとする傾向が、近年顕著になりつつある。このたけの風洞実験も、定常的な流れの中での応答解析から、Davenport の研究⁽¹⁾を契機として、その中心は人為的に作られた境界層内の乱流中の応答解析という形態に移行しつつあるようである。これらの研究の遂行上の主要な障害の一つとして、強風下での実橋の応答観測データの不足があげられる。このため筆者等は、徳島県鳴門市の小鳴門橋において、台風時にかけて強風の特性および橋梁の応答特性を調査し、耐風性解析のための基礎資料を収集した。今回報告するデータは昭和47年9月16日、紀伊半島東部と通過した台風20号に対する観測結果である。唯一度の台風に対し、十分満足すべきデータを収集することはできなかつたが、応答に関する限りして、2.3興味ある現象が把えられたので、オーライとしてここに報告する。

2. 観測地点、測定点および測定装置

小鳴門橋は徳島県鳴門市にあり、大毛島と桑島を南北に結ぶ。全長441.4mの2スパン連続4径間の小規模なつり橋である。橋軸方向北方には海拔200m程度の大毛島のピークがあり、水路は東西に伸びている。南西部は丘陵地帯、南東部は市街地である。

橋梁上の測定点は、塔頂およびSec A～Sec Cの4点が選ばれ、各点に設置された検出装置とともに図-1に示されている。飛振部からの信号は南岸アンカーベーに設けられた観測室に導かれ、すべてデータレコーダーによって記録された。

3. 小鳴門橋架設地点における自然風の特性について

台風20号による強風の統計的性質として、一般的に求められる諸量は以下の通りである。ここでは風圧記録データ不良のため、分析の対象から外されている。

・平均風速、最大風速およびガストファクター

図-2は3つの測定における平均風速(評価時間10分)および塔頂の最大風速の記録である。最大風速の変化の様子は平均風速のそれとは必ずしも一致していない。

高さ方向の分布に対するPower Law⁽²⁾を適用して、地表粗度の影響を調べると、 $V_z = V_0 (z/z_0)^{\alpha}$ に対する α の値は風速および風向の変動に対して、0.16～0.25であった。ガストファクターについては、評価時間の種々の値に対するものを図-3に示している。ここには同時に、風速の変動の頻度分布曲線と正規分布に近いものとして、Rice および Longuet-Higgins の理論による推定値を示されている。すなわち、ガストファクター G は、変動風のパワースペクトル $F_n(\omega)$ 、評価時間 T および平均風速 \bar{U} により、つきのように求められる。

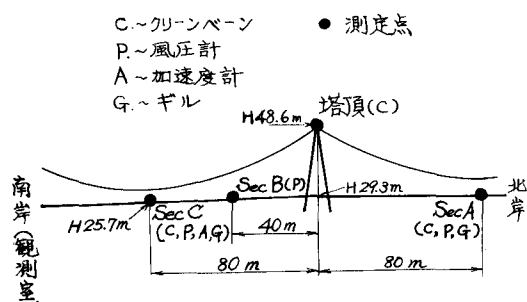


図-1 測定点 見取図

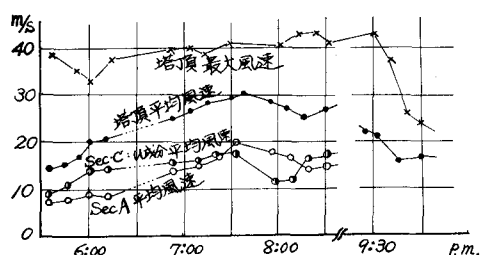


図-2 平均風速、最大風速の推移

$$G = 1 + \left[\int_0^{\infty} F_u(n) dn \right]^2 \left(\sqrt{2 \ln \nu_{uT}} + 0.577 / \sqrt{2 \ln \nu_{uT}} \right) / U$$

$$\nu_{uT} = \left[\int_0^{\infty} n^2 F_u(n) dn / \int_0^{\infty} F_u(n) dn \right]^{1/2}$$

○自己相関およびパワースペクトル

相関確率分析器およびスペクトルアナライザによる分析結果を図-4、図-5に示す。前者は、Sec Cのギルトによる3成分に対するものである。U、V、Wに比べて成分はホワイトノイズ状であることが立証される。乱れのスケールはエルゴード性の仮定の下で、 $C(\tau)$ に基づいて計算された。すなわち

$$L_x = \bar{U} \int_0^{\infty} C_u(\tau) d\tau$$

によれば、塔頂で最大60m、Sec Aで40mと、予想よりはるかに小さな値を示している。

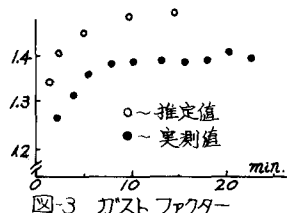


図-3 カスト・ファクター

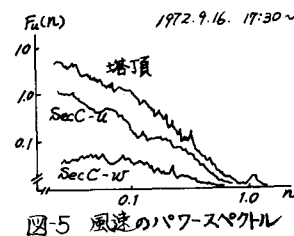


図-5 風速のパワースペクトル

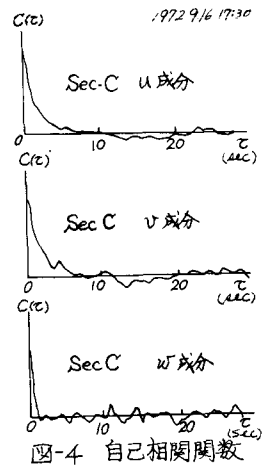


図-4 自己相関関数

4. 小鳴門橋の応答

Sec Cに設置された加速度計によれば、台風通過中に記録された最大たわみ振幅は倍振幅で約7cmであった。観測された応答加速度に対する自己相関係数およびパワースペクトルの一例は図-6のようである。オーナーのピークはたわみ型、オフのピークはねじり型に対応している。この結果は、いわゆる周波数応答関数に相当する成分が際立っていて、この時点では建設運動は既に認められていない。図-7は塔頂風速と、スパン中央(Sec. C)の応答加速度に関する、ゲイン特性を求めたものである。すなわち両者のクロススペクトルの実部、差部をそれぞれ重り重りするととき、ゲイン特性 $|A_{st}|$ と

$$|A_{st}| = \sqrt{A_{rr}^2 + A_{tt}^2}$$

によって求めたものである。風速のスペクトルは際立った特徴がない、応答スペクトルの形状によって支配されているようである。乱れのスケールから推定して、両者の相関が低いことは予め考えられることがである。観測された応答記録によれば、応答曲線は数十秒程度で大きく変化しており、風も含めてその統計量の評価時間と長く取りすぎるとき、推定の精度が落ちることが考えられる。

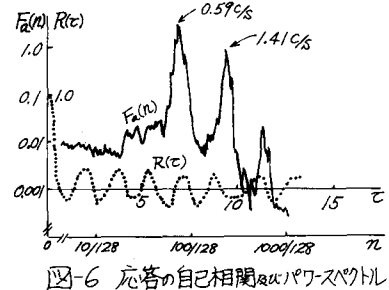


図-6 応答の自己相関及ぶパワースペクトル

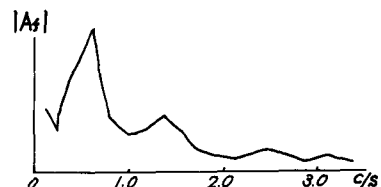


図-7 ゲイン特性(塔頂風速-応答加速度)

5. おまけ

今回の観測は予備観測の域を出ず、収集されたデータにも多くの欠陥が認められたが、架設地点の地形的特徴によって、風の性質は定常性の低いものであることが予想された。風の空間的な分布と推定できなかつたため、橋梁の応答の推定は不十分なものとなる。しかし、乱れのスケールの小ささ、応答経続時間等から判断して、従来の5~10分間を単位とする統計量では、母集団が大きすぎると思われる。今後さらに観測の密度を増して、これらの点を明らかにしてゆく予定である。

(参考文献) (1) A.G. Davenport: A Statistical Approach to the treatment of wind loading on tall masts and suspension bridges, Ph.D. Discr. Univ. of Bristol.

(2) 上木厚会: 本連絡橋耐風設計指針, p.30

(3) S.U. Rice: Bell Sys. Tech. J., Vol. 24, 1945,